

Голухова Е. З., Сливнева И. В., Петросян К. В., Дадабаев Г. М., Бердибеков Б. Ш., Антонова А. М., Сагымбаев Б. А., Пирушкина Ю. Д., Тер-Акопян К. А.

 $\Phi$ ГБУ «Национальный медицинский исследовательский центр сердечно-сосудистой хирургии имени А. Н. Бакулева» Минздрава РФ, Москва, Россия

# Интервенционное лечение митральной недостаточности с помощью вальвулопластики край-в-край в разрезе этиологического фактора: непосредственные результаты

Цель Изучить непосредственные результаты интервенционного способа лечения митральной регурги-

тации (MP) с помощью системы MitraClip (Abbott Vascular) в разрезе этиологического фактора.

Материал и методы Исследование является проспективным одноцентровым. Всего в анализ вошли данные 89 паци-

ентов, пролеченных за 2023-2024 гг. Большинство пациентов относились к старшей возрастной группе ( $67,6\pm9,3$  года), отмечалось преобладание мужского пола (57,3%). Эхокардиографию (ЭхоКГ) проводили на ультразвуковом аппарате Philips EPIQ CVx с использованием датчиков X5-1 и X8-t. Выполняли оценку тяжести MP при мультипараметрической ЭхоКГ. Количественные измерения получали в соответствии с современными рекомендациями Американского общества эхокардиографии и Европейской ассоциации визуализации сердечно-сосудистой системы (ASE

и EACVI, 2015).

Результаты В 19,1% случаев причиной возникновения МР служил пролапс или отрыв хорд от створки митраль-

ного клапана (группа первичной митральной регургитации – ПМР, 1 группа). В 80,9% случаев МР развилась вторично, в 29,2% была представлена атриогенным вариантом функциональной митральной регургитации (а-ФМР, 2-я группа) и в 51,7% вентрикулярным (v-ФМР, 3-я группа). Сравнительный анализ данных ЭхоКГ выявил, что при сопоставимой степени МР систолическая функция левого желудочка была статистически значимо ниже в группе v-ФМР по сравнению с ПМР, но также уступала группе с а-ФМР (42,7 $\pm$ 10,2% против 53,5 $\pm$ 8,5 и 49,2 $\pm$ 10,7% соответственно; р<sub>1-3</sub><0,001, р<sub>2-3</sub>=0,029). Эффективность процедуры в виде редукции степени МР была достигнута у 93,2% пациентов (из них  $\leq$  I степени у 64% пациентов). Максимальное уменьшение МР до I степени и менее отмечено в группе v-ФМР (71,7%), что было выше по сравнению с другими группами (а-ФМР 57,7%; ПМР 52,9%). Уменьшение симптоматики и улучшение функционального класса (ФК) хронической сердечной недостаточности (ХСН) по классификации NYHA отмечено во всех группах. В группе v-ФМР достигнуто более выраженное симптоматическое

улучшение и уменьшение  $\Phi K$  (95,7% пациентов с II  $\Phi K$ ).

Заключение Транскатетерные реконструктивные вмешательства на митральном клапане край-в-край с помо-

щью системы MitraClip позволяют достичь значительной редукции степени MP в непосредственном периоде независимо от ее этиологии. Для оценки стойкости результатов необходимо дли-

тельное наблюдение.

Ключевые слова Митральная регургитация; митральный клапан; сердечная недостаточность; транскатетерная валь-

вулопластика край-в-край MitraClip; клипирование; атриогенная, вентрикулярная, первичная (органическая) митральная недостаточность; вторичная (функциональная) митральная недостаточность

Для цитирования Golukhova E. Z., Slivneva I. V., Petrosyan K. V., Dadabaev G. M., Berdibekov B. Sh., Antonova A. M. et al.

Interventional Treatment of Mitral Insufficiency with Edge-to-Edge Valvuloplasty in Terms of Etiologic Factor: Immediate Results. Kardiologiia. 2025;65(10):46–58. [Russian: Голухова Е. З., Сливнева И. В., Петросян К. В., Дадабаев Г. М., Бердибеков Б. Ш., Антонова А. М. и др. Интервенционное лечение митральной недостаточности с помощью вальвулопластики край-в-край в разрезе этиологи-

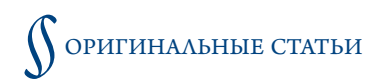
ческого фактора: непосредственные результаты. Кардиология. 2025;65(10):46-58].

Автор для переписки Сливнева Инесса Викторовна. E-mail: slivneva@mail.ru

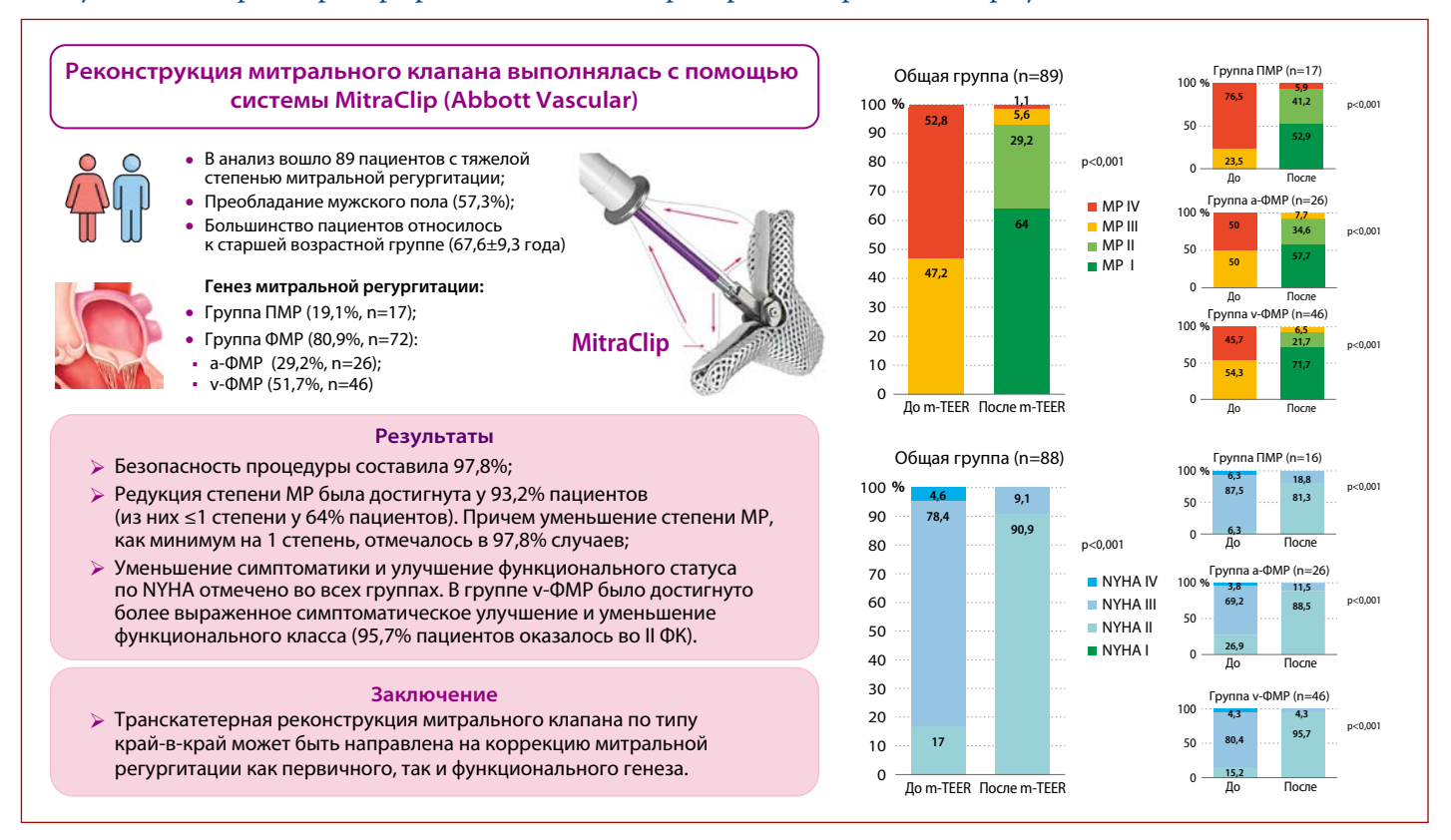
# Введение

Митральная регургитация (MP) представляет собой сложную проблему и в отсутствие лечения инициирует каскад событий, который приводит к развитию и прогрессированию хронической сердечной недостаточности (XCH), несет значительное бремя заболеваемости

и смертности независимо от основной причины или типа поражения [1, 2]. Существует два основных типа МР: первичная (органическая) и вторичная (функциональная). В основе первого варианта лежит органическая деформация митрального комплекса, например отрыв хорд, пролапс створки и т. д. В то же время функциональная ми-



**Центральная иллюстрация.** Интервенционное лечение митральной недостаточности с помощью вальвулопластики край-в-край в разрезе этиологического фактора – непосредственные результаты



тральная регургитация (ФМР) происходит в результате ремоделирования левых камер сердца, при этом сам митральный клапан (МК) остается структурно нормальным. В качестве причин ФМР выделяют вентрикулярный вариант ремоделирования – ишемического или неишемического генеза, или атриогенный вариант ремоделирования, при длительно существующих нарушениях ритма сердца [1–4]. Но, как бы то ни было, МР приводит к прогрессированию заболевания и со временем – к необратимым нарушениям функции сердца.

«Золотым стандартом» лечения тяжелой МР у пациентов из групп низкого или промежуточного хирургического риска является открытое хирургическое вмешательство. Для пациентов из группы высокого хирургического риска в качестве достойной альтернативы предложен транскатетерный способ аппроксимации митральных створок с помощью системы MitraClip [1, 2]. Первая имплантация устройства была выполнена в 2003 г. [5]. К настоящему времени проведено более 200 тыс. имплантаций по всему миру, и устройство продолжает лидировать благодаря появлению новых генераций с более усовершенствованным конструктивом [6].

# Цель

Изучение непосредственных результатов интервенционного способа лечения MP с помощью системы MitraClip в разрезе этиологического фактора.

# Материал и методы

Настоящее исследование является проспективным когортным одноцентровым. Протокол исследования одобрен локальным этическим комитетом (протокол  $N^{\circ}$  2 от 13 апреля 2023 г.). Информированное согласие получено от всех пациентов.

В исследование были включены 89 пациентов с симптоматической хронической МР, которым по клиническим показаниям проводилась транскатетерная реконструкция МК край-в-край (m-TEER). Критерии включения и исключения представлены лалее.

Критерии включения:

- возраст >18 лет;
- симптоматическая хроническая первичная митральная регургитация (ПМР) или ФМР ≥ ІІІ степени по данным количественной оценки с объемом МР (RVol) >30 мл или эффективным отверстием регургитации (ERO) >20 мм² [1,2];
- фракция выброса (ФВ) левого желудочка (ЛЖ) >20%;
- наличие реконструктивного потенциала МК для выполнения m-TEER (отсутствие кальциноза створок в зоне захвата, исходный средний трансмитральный градиент давления менее 4 мм рт. ст.);
- площадь отверстия более 4,0 см<sup>2</sup>;
- функциональный класс (ФК) ХСН II–IV по классификации NYHA;



- подписанное информированное согласие на участие в исследовании.
  - Критерии исключения:
- недостаточная длина задней створки МК (менее 6 мм) для надежной механической фиксации клипсы;
- гемодинамическое преобладание порока аортального, трикуспидального или легочного клапана;
- участие в других незавершенных исследованиях;
- перенесенные вмешательства на сердце в течение 1 мес (ресинхронизирующая терапия, коронарная ангиопластика, радиочастотная абляция и т. д.);
- признаки активного или перенесенного инфекционного поражения структур сердца (вегетации, перфорация створки МК);
- признаки внутрисердечного тромба;
- отсутствие оптимальной визуализации или невозможность получения всех проекций, требующихся во время ультразвуковой навигации, а также невозможность проведения чреспищеводного исследования, в том числе из-за анатомических особенностей пациента;
- отсутствие сосудистого доступа (тромбоз нижней полой вены и бедренной вены);
- отсутствие транссептального доступа (миксома левого предсердия, транссептальный окклюдер).

Были определены группы пациентов на основании ведущего механизма развития МР. Первичная этиология МР основывалась на наличии морфологических изменений МК, например пролапса створки/створок или отрыва хорд (ПМР, 1-я группа). Вторичная, или ФМР, основывалась на наличии аннулодилатации и/или втяжении створок в сочетании с дисфункцией ЛЖ и/или ремоделированием левых камер сердца в отсутствие структурных изменений МК и была представлена атриогенным (а-ФМР, 2-я группа) или вентрикулярным (v-ФМР, 3-я группа) вариантом. При последнем варианте МР развивается на фоне длительного существования нарушений ритма, например, фибрилляции/трепетании предсердий, в результате ремоделирования предсердия. Помимо наличия в анамнезе или на момент исследования фибрилляции предсердий ( $\Phi\Pi$ ) критерием включения в группу a- $\Phi$ MP служили ФВ ЛЖ выше 45%, отсутствие зон асинергии миокарда, а также отсутствие гемодинамически значимого поражения коронарных артерий и органического поражения МК. Вентрикулярный вариант ФМР мог быть следствием ишемического поражения с развитием систолической дисфункции ЛЖ либо неишемического генеза, например, при дилатационной кардиомиопатии.

# Техническое сопровождение процедуры и эхокардиографический анализ

Процедура m-TEER выполнялась в условиях общего наркоза, под ангиографическим и эхокардиографи-

ческим контролем. Применялась ангиографическая установка Philips Azurion 7M-20. Эхокардиографию (ЭхоКГ) проводили на ультразвуковом аппарате Philips EPIQ CVx с использованием датчиков X5-1 и X8-t. Количественные измерения получали в соответствии с современными рекомендациями Американского общества эхокардиографии и Европейской ассоциации визуализации сердечно-сосудистой системы (ASE и EACVI, 2015) [7]. Размеры и ФВ АЖ рассчитывали с помощью метода Симпсона в биплановом режиме, оценивали наличие региональных нарушений движения стенок. Анализ качественных параметров МР был проведен с помощью данных цветового допплеровского картирования потока. С помощью полуколичественных методов проведена оценка следующих параметров: vena contracta (VC), поток в легочных венах, а также антеградный ток на МК. Количественные методы включали ERO и RVol [8]. ERO и RVol методом PISA рассчитывали по следующим формулам:

ERO=Q/vMR=
$$2\pi r^2$$
va/vMR и RVol=ERO VTI<sub>MR</sub> [9].

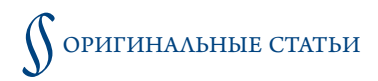
Критерии приемлемой анатомии МК для m-TEER были определены в исследовании EVEREST II [10]. Независимо от этиологии площадь МК должна быть более  $4 \, \mathrm{cm}^2$ , в зоне захвата не должно быть кальциноза, длина подвижной части задней створки должна составлять не менее  $6 \, \mathrm{mm}$ .

#### Описание устройства

Устройство MitraClip проводится в сосудистом русле и предназначено для использования в левых камерах сердца. Конструкция клипсы позволяет выполнить надежную механическую фиксацию противоположных частей митральных створок транскатетерным способом. Все этапы от выбора транссептальной пункции, имплантации клипсы, отсоединение системы доставки и извлечение устройства проводятся в условиях чреспищеводной ЭхоКГ.

#### Конечные точки исследования

Эффективность и безопасность конечных точек определяли на основе критериев MVARC (Mitral Valve Academic Research Consortium) [11]. Первичной конечной точкой безопасности была частота тяжелых осложнений («нежелательных событий», МАЕ) в течение 30 дней, которые включали следующее: смерть от всех причин, инфаркт миокарда, острое нарушение мозгового кровообращения, кровотечение, требующее переливания компонентов крови, кардиохирургическое вмешательство на МК после процедуры. Первичной конечной точкой эффективности был успех процедуры, определяемый как имплантация клипсы с уменьшением MP ≤II степени, снижение ФК ХСН по классификации NYHA.



#### Статистический анализ

Статистический анализ полученных данных проводили с использованием программы IBM SPSS Statistics v.29.0. В случае нормального распределения количественных показателей полученные данные описывали с помощью средних арифметических величин (М) и стандартных отклонений (SD). При отличии совокупности количественных показателей от нормального распределения данные были представлены с помощью медианы (Ме) и нижнего и верхнего квартилей [Q1; Q3]. Статистическую значимость различий количественных показателей, имеющих нормальное распределение, между группами оценивали при помощи однофакторного дисперсионного анализа. В случае обнаружения статистически значимых различий между группами дополнительно проводили сравнение совокупностей попарно при помощи апостериорного критерия Тьюки. При сравнении нескольких выборок количественных данных, имеющих распределение, отличное от нормального, использовали критерий Краскела-Уоллиса. В случае обнаружения статистически значимых различий между группами дополнительно проводили парное сравнение совокупностей при помощи апостериорного критерия Данна. Для проверки различий между двумя сравниваемыми парными выборками применяли W-критерий Вилкоксона. Для сравнения относительных показателей, характеризующих связанные совокупности (до и после лечения), использовали тест МакНемара. Различия показателей считали статистически значимыми при р<0,05.

#### Результаты

В общей сложности проведен анализ результатов транскатетерного лечения 89 пациентов, пролеченных за 2023–2024 гг. В 19,1% случаев причиной возникновения МР служил пролапс или отрыв хорд от створки МК (группа ПМР). В 80,9% (n=72) случаев МР развилась вторично, в 29,2% (n=26) была представлена атриогенным вариантом ФМР (а-ФМР) и в 51,7% (n=46) – вентрикулярным (v-ФМР). Вентрикулярный вариант ФМР в данном исследовании во всех случаях имел ишемическое происхождение.

Большинство пациентов относились к старшей возрастной группе (67,6±9,3 года), отмечалось преобладание мужского пола (57,3%). Статистически значимых различий между группами по возрасту и половой принадлежности не выявлено. При сравнении групп по шкале хирургического риска EuroSCORE II выявлены статистически значимые различия (p=0,003). Апостериорный анализ показал, что основное различие обусловлено более высоким значением EuroSCORE II в группе пациентов с v-ФМР по сравнению с группой с а-ФМР – 6,5 [3,21; 10,26] % и 2,6 [1,59; 5,47] % соответственно (p=0,003).

Кроме того, в группе v-ФМР пациенты чаще ранее переносили коронарное шунтирование (р=0,022), а также чрескожное коронарное вмешательство (p<0,001). Следует отметить, что у 82% пациентов ХСН относилась к 2А стадии по классификации Стражеско-Василенко, 78,7% пациентов имели ІІІ ФК по классификации NYHA. При этом по стадиям ХСН и ФК по NYHA в зависимости от механизма МР статистически значимых различий между группами не обнаружено. При оценке частоты развития  $\Phi\Pi$  в зависимости от механизма MP выявлены статистически значимые различия между группами (p<0,001). Во всех случаях у пациентов с а-ФМР зарегистрирована  $\Phi\Pi$ , тогда как в группах с ПМР и v- $\Phi$ MР – в 64,7 и 43,5% случаев соответственно. При сравнении различных форм ФП в зависимости от механизма МР также обнаружены статистически значимые различия (р=0,010). Однако апостериорный анализ не выявил статистически значимых различий между отдельными парами. Это может быть связано с крайними значениями пропорций (0 или 100%) и малым числом пациентов в некоторых подгруппах.

Анализ сопутствующей патологии показал, что в группе v-ФМР по сравнению с группами ПМР и а-ФМР статистически значимо чаще встречались перенесенный инфаркт миокарда и атеросклероз артерий нижних конечностей. В отношении остальных сопутствующих заболеваний, включая сахарный диабет 2-го типа, артериальную гипертензию, хроническую обструктивную болезнь легких, хроническую болезнь почек и ожирение, статистически значимых различий между группами не выявлено (р>0,05). Общая характеристика пациентов представлена в таблице 1.

На момент госпитализации большинство пациентов получали оптимальную терапию ХСН (табл. 1). Статистически значимых различий между группами пациентов по частоте приема препаратов отдельных групп не обнаружено.

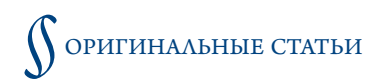
Сравнительный анализ данных ЭхоКГ выявил, что при сопоставимой степени МР ФВ ЛЖ была статистически значимо ниже в группе v-ФМР по сравнению с ПМР, а также ниже в группе с  $a-\Phi MP$  (42,7 $\pm 10,2\%$ против 53,5±8,5% и 49,2±10,7% соответственно;  $p_{1-3}$ <0,001,  $p_{2-3}$ =0,029). Соответственно, наименьший показатель сердечного индекса отмечен в группе v-ФМР  $(2,4\pm0.9 \text{ мл/м}^2)$  и статистически значимо отличался от группы ПМР (3,1 $\pm$ 1,1 мл/м<sup>2</sup>; p=0,020). Аналогичные изменения обнаружены относительно сердечного выброса. Наибольшая дилатация как левого, так и правого предсердия отмечалась в группе а-ФМР, причем размеры правого предсердия были статистически значимо больше по сравнению с другими группами. Систолическое давление в легочной артерии преобладало в группе органической MP - 57,3±18,6 мм рт. ст., в группе



Таблица 1. Исходные характеристики пациентов перед транскатетерным вмешательством на митральном клапане

Post		группа (п-	ПМР	ФМР				Общая	ПМР	ФМР		
Myackor   Si	Показатель					p	Показатель					p
MMT, кум²   28,515,2   28,316,2   30,415,2   27,444,7   0,003   0,003   0,003   0,004   0,003   0,0	годы					0,249	мальная		0*			
ППТ, м'   2,000,21   1,920,2   2,925,2   2,64   6,5   0,0031   1,000,000   1,1000,000   2,001,20   1,000,000   1,1000,000   2,001,20   1,000,000   1,1000,000   2,001,20   1,000,000   2,001,20   1,000,000   1,000,000   2,000,000   1,000,000   2	пол	(57,3)	(35,3)	(53,8)	(67,4)		Персистиру-		0*			0,010
Seuro-						<u> </u>		(5,7)	· ·	(3,8)	(10,0)	
Биго SCORE II., % SCORE II., % SAP SLOPE (2.78) 1.1.24 SAP	ППТ, м²	2,0±0,21	1,9±0,24	2,0±0,2	1,9±0,2	-	Постоянная	33/	11/	16/	8/	
Портектовренення наримений вырование наримений вымения вырование наримений вырование наримений вырование наримения вырование наримений вырование наримения наримен		[2,66;	[2,78;	[1,59;	[3,21;	p <sub>1-2</sub> =0,102; p <sub>2-3</sub> =0,003;	Артериаль- ная гипер-					0,703
Аортокоргонорганировании         10 (11,2)         1 (5,9)         0°         9 (19,6)         0,022         роз БЦА         26 (29,2)         4 (25,5)         4 (15,4)         18 (39,1)         0,099           Чрекож- пово выещья тельство         36 (40,4)         4 (23,5)         0°         32 (69,6)         <0,001	Перенесенны	ые вмешат	ельства									
Рескожное вмеша- геальствого вое вмеша- геальствого вмеша- геальство вое вмеша- геальствого вмеш		10 (11,2)	1 (5,9)	0*	9 (19,6)	0,022	роз БЦА	26 (29,2)	4 (23,5)	4 (15,4)	18 (39,1)	0,096
Каротидари радариерах радариер	Чрескож-	36 (40,4)	4 (23,5)	0*	32 (69,6)		роз артерий нижних ко-	23 (25,8)	1 (5,9)	5 (19,2)	17 (37,0)	
эндартерэк томия         3 (3,4)         1 (5,9)         0*         2 (4,3)         0,584         XOBA         13 (14,6)         1 (5,9)         3 (11,5)         9 (19,6)         0,412           Паластика митрального калапана         3 (3,4)         0*         3 (11,5)         0*         0,029         Инфаркт миокарда в анамнезе         26 (29,2)         2 (11,8)         0*         24 (52,3)         -0,001 р.; =0,009           Протезирование аортального калапана         2 (2,2)         0         1 (3,8)         1 (2,2)         0,999         70,009         1 (1,1)         1 (5,9)         3 (11,5)         5 (10,9)         0,833           РЧА         10 (11,2)         1 (5,9)         6 (23,1)         3 (6,5)         0,099         20,009							XBH	14 (15,7)	1 (5,9)	4 (15,4)	9 (19,6)	0,466
томия         совтивный вытрального выдинизации выдений выден	_	3 (3.4)	1 (5.9)	0*	2 (4.3)	0.584	ХОБЛ	13 (14,6)	1 (5,9)	3 (11,5)	9 (19,6)	0,412
Митрального дального вание ванамиезе   Партезирование   Партезирование ванамиезе   Партезирование в	томия						миокарда	26 (29,2)	2 (11,8)	0*	24 (52,3)	
Протезирование аортального калпана  РЧА 10 (11,2) 1 (5,9) 6 (23,1) 3 (6,5) 0,099  ЭКС 9 (10,1) 2 (11,8) 4 (15,4) 3 (6,5) 0,463  ХСН 2А стадии 73 (82,0) 12 (70,6) 25 (96,2) (78,3) (21,7)  ХСН 2Б стадии 15 (16,9) 1 (5,9) 7 (26,9) 7 (15,2) (73,4) (69,2) 14 (82,4) 1 (69,2) 1 (80,4) (69,2) (80,4) (79,4) (69,2) (80,4) (79,4) (69,2) (78,3) (79,4) (69,2) (78,3) (79,4) (69,2) (78,3) (79,4) (	клапана	3 (3,4)	0*	3 (11,5)	0*	0,029	ОНМК	11 (12,4)	3 (17,6)	3 (11,5)	5 (10,9)	
РЧА         10 (11,2)         1 (5,9)         6 (23,1)         3 (6,5)         0,099           ЭКС         9 (10,1)         2 (11,8)         4 (15,4)         3 (6,5)         0,463         ХБП         15 (16,9)         3 (11,5)         9 (19,6)         0,748           ФУНКЦИОНАЛЬНЫЙ СТАТУС         73 (82,0)         12 (70,6)         25 (96,2)         36 (96,2)         (78,3)         0,052         Терапия на моент гоститализации         16 (18,0)         8 (30,8)         12 (26,1)         0,352           ХСН 2Б стадии         16 (18,0)         5 (29,4)         1 (3,8)         10 (21,7)         4 (4,5)         0*         0*         4 (8,7)         0,303           ХСН 11 ФК NYHA         15 (16,9)         1 (5,9)         7 (26,9)         7 (15,2)         AMKP         54 (60,7)         10 (58,8)         17 (65,4)         27 (58,7)         0,842           ХСН II ФК NYHA         15 (16,9)         1 (482,4)         18 (69,2)         (80,4)         0,313         Сердечные гликозиды         15 (16,9)         4 (23,5)         7 (26,9)         4 (8,7)         0,513           ХСН II ФК NYHA         5 (5,6)         2 (11,8)         1 (3,8)         2 (4,3)         0,313         Сердечные гликозиды         15 (16,9)         4 (23,5)         7 (26,9) <t< td=""><td>вание аортального</td><td>2 (2,2)</td><td>0</td><td>1 (3,8)</td><td>1 (2,2)</td><td>0,999</td><td>ТЭЛА в анамнезе</td><td>1 (1,1)</td><td>1 (5,9)</td><td>0*</td><td>0*</td><td>0,191</td></t<>	вание аортального	2 (2,2)	0	1 (3,8)	1 (2,2)	0,999	ТЭЛА в анамнезе	1 (1,1)	1 (5,9)	0*	0*	0,191
Функциональный статус         Анемия         4 (4,5)         0*         0*         4 (8,7)         0,303           XCH 2A стадии         73 (82,0)         12 (70,6)         25 (96,2)         36 (96,2)         (78,3)         0,052         16 (18,0)         5 (29,4)         1 (3,8)         10 (21,7)         10 (21,7)         10 (21,7)         10 (21,7)         10 (31,7)		10 (11,2)	1 (5,9)	6 (23,1)	3 (6,5)	0,099		21 (23,6)	4 (23,5)	6 (23,1)	11 (23,9)	0,999
XCH 2A стадии         73 (82,0)         12 (70,6)         25 (96,2)         36 (78,3)         10 (21,7)         16 (18,0)         5 (29,4)         1 (3,8)         10 (21,7)         EAB         56 (62,9)         9 (52,9)         16 (61,5)         31 (67,4)         0,563           XCH II ФК NYHA         15 (16,9)         1 (5,9)         7 (26,9)         7 (15,2)         AMKP         54 (60,7)         10 (58,8)         17 (65,4)         27 (58,7)         0,842           XCH III ФК NYHA         69 (77,5)         14 (82,4)         18 (69,2)         (80,4)         0,313         Ceppaeчные гликозиды         15 (16,9)         4 (23,5)         7 (26,9)         4 (87,7)         0,113           XCH IV ФК NYHA         5 (5,6)         2 (11,8)         1 (3,8)         2 (4,3)         0,313         Ceppaeчные гликозиды         15 (16,9)         4 (23,5)         7 (26,9)         4 (87,7)         0,113           XCH IV ФК NYHA         5 (5,6)         2 (11,8)         1 (3,8)         2 (4,3)         0,313         Ceppaeчные гликозиды         15 (16,9)         4 (23,5)         7 (26,9)         4 (87,7)         0,113           Сопутствующая патология         Сакуби- гриил/ (64,0)         26 (100,0)*         20 (10,0)*         4 (3,5)         4 (3,5)         25 (28,1)         3 (17,6)         9 (3	ЭКС	9 (10,1)	2 (11,8)	4 (15,4)	3 (6,5)	0,463	ХБП	15 (16,9)	3 (17,6)	3 (11,5)	9 (19,6)	0,748
$ \begin{array}{c ccccccccccccccccccccccccccccccccccc$	Функционал	ьный стату	ус				Анемия	4 (4,5)	0*	0*	4 (8,7)	0,303
(96,2) $(78,3)$		73 (82,0)	12 (70,6)				Терапия на м	омент гос	питализаци	и		
Стадии       16 (18,0)       S (29,4)       1 (3,8)       (21,7)         XCH III ФК NYHA       15 (16,9)       1 (5,9)       7 (26,9)       7 (15,2)         XCH III ФК NYHA       69 (77,5)       14 (82,4)       18 (69,2)       (80,4)         XCH IV ФК NYHA       5 (5,6)       2 (11,8)       1 (3,8)       2 (4,3)         Сопутствующая патология       Сакубитрил (64,0)       11 (64,7)       26 (100,0)*       20 (100,0)*       (43,5)       <0,001		. , , ,	. , ,	(96,2)		0,052	иАПФ	22 (24,7)	2 (11,8)	8 (30,8)	12 (26,1)	0,352
ХСН II ФК NYHA15 (16,9)1 (5,9)7 (26,9)7 (15,2)AMKP54 (60,7)10 (58,8)17 (65,4)27 (58,7)0,842БРА28 (31,5)6 (35,3)10 (38,5)12 (26,1)0,513ХСН III ФК NYHA69 (77,5)14 (82,4)18 (69,2)37 (80,4)0,313Сердечные гликозиды15 (16,9)4 (23,5)7 (26,9)4 (8,7)0,113ХСН IV ФК NYHA5 (5,6)2 (11,8)1 (3,8)2 (4,3)Петлевые диуретики60 (67,4)14 (82,4)17 (65,4)29 (63,0)0,325Сопутствующая патологияФибрилля- ция пред- сердий57 (64,0)11 (64,7)26 (100,0)*20 (43,5) $<0,001$ Сакуби- трил/ валсартан25 (28,1)3 (17,6)9 (34,6)13 (28,3)0,516иНГЛТ-217 (19,1)1 (5,9)5 (19,2)11 (23,9)0,321		16 (18,0)	5 (29,4)	1 (3,8)			БАБ	56 (62,9)	9 (52,9)	16 (61,5)	31 (67,4)	0,563
NYHA       15 (16,9)       1 (5,9)       7 (26,9)       7 (15,2)       БРА       28 (31,5)       6 (35,3)       10 (38,5)       12 (26,1)       0,513         XCH III ФК NYHA       69 (77,5)       14 (82,4)       18 (69,2)       (80,4)       0,313       Сердечные гликозиды       15 (16,9)       4 (23,5)       7 (26,9)       4 (8,7)       0,113         XCH IV ФК NYHA       5 (5,6)       2 (11,8)       1 (3,8)       2 (4,3)       Петлевые диуретики       60 (67,4)       14 (82,4)       17 (65,4)       29 (63,0)       0,325         Сопутствующая патология       Сакуби-трил/ валсартан       25 (28,1)       3 (17,6)       9 (34,6)       13 (28,3)       0,516         Ния предсердий       (64,0)       (64,7)       (100,0)*       (43,5)       <0,001			, ,	, ,			AMKP	54 (60,7)	10 (58,8)	17 (65,4)	27 (58,7)	0,842
NYHA $69 (77,5)$ $14 (82,4)$ $(69,2)$ $(80,4)$ $0,313$ $0,31$		15 (16,9)	1 (5,9)	7 (26,9)	7 (15,2)		БРА	28 (31,5)	6 (35,3)	10 (38,5)	12 (26,1)	0,513
NYHA $S(5,8)$ $Z(11,8)$ $I(5,8)$ $Z(4,3)$ $Auyретики$ $S(6,4)$ $I(82,4)$ $I(82,4)$ $I(83,4)$		69 (77,5)	14 (82,4)			0,313		15 (16,9)	4 (23,5)	7 (26,9)	4 (8,7)	0,113
$\Phi$ ибрилля- ция пред- сердий $\begin{pmatrix} 57\\ (64,0) \end{pmatrix}$ $\begin{pmatrix} 11\\ (64,7) \end{pmatrix}$ $\begin{pmatrix} 26\\ (100,0)^* \end{pmatrix}$ $\begin{pmatrix} 20\\ (43,5) \end{pmatrix}$ $<0,001$ $\begin{pmatrix} 12\\ (43,5) \end{pmatrix}$ $\begin{pmatrix} 25\\ (28,1) \end{pmatrix}$ $\begin{pmatrix} 25\\ (28,1) \end{pmatrix}$ $\begin{pmatrix} 25\\ (28,1) \end{pmatrix}$ $\begin{pmatrix} 3\\ (17,6) \end{pmatrix}$ $\begin{pmatrix} 9\\ (34,6) \end{pmatrix}$ $\begin{pmatrix} 13\\ (28,3) \end{pmatrix}$ $\begin{pmatrix} 0,516 \end{pmatrix}$ $\begin{pmatrix} 13\\ (28,3) \end{pmatrix}$ $\begin{pmatrix} 1$		5 (5,6)	2 (11,8)	1 (3,8)	2 (4,3)			60 (67,4)	14 (82,4)	17 (65,4)	29 (63,0)	0,325
$\frac{57}{\text{сердий}}$ $\frac{11}{(64,0)}$ $\frac{26}{(64,7)}$ $\frac{20}{(100,0)^*}$ $\frac{20}{(43,5)}$ <0,001 $\frac{1}{(43,5)}$ Bалсартан $\frac{1}{(43,5)}$ $\frac{1}{(5,9)}$ $\frac{1}{(5,9)}$ $\frac{1}{(5,9)}$ $\frac{1}{(5,9)}$ 0,321												
сердий иНГЛ1-2 17 (19,1) 1 (8,9) 8 (19,2) 11 (23,9) 0,321	ция пред-					<0,001	валсартан					
	сердий	(01,0)	(01,7)	(100,0)	(13,3)		иНГЛТ-2			5 (19,2)	11 (23,9)	0,321

Данные представлены в виде арифметического среднего и стандартного отклонения ( $M\pm SD$ ), медианы и интерквартильного размаха (Me [Q1; Q3]); номинальных переменных, п (%). \* – категория не использовалась в попарных сравнениях, так как пропорция столбца равна нулю или единице. ПМР – первичная митральная регургитация;  $\Phi MP$  – функциональная митральная регургитация;  $\Phi MP$  – атриогенная функциональная митральная регургитация;  $\Phi MP$  – вентрикулярная функциональная митральная регургитация;  $\Phi MP$  – вентрикулятор;  $\Phi MP$  – вентрикулятор;  $\Phi MP$  – радиочастотная абляция;  $\Phi MP$  – электрокардиостимулятор;  $\Phi MP$  – хроническая сердечная недостаточность;  $\Phi MP$  – фибрилляция предсердий;  $\Phi MP$  – фибрилляция предем предем предсердий;  $\Phi MP$  – фибрилляция предем пре



**Таблица 2.** Сравнительный анализ эхокардиографических данных перед транскатетерной аппроксимацией митральных створок с помощью системы MitraClip

П.,,,,,,,,,,	Общая группа	ПМР	ФМ	ΜР			
Параметр	(n=89)	(n=17)	a-ΦMP (n=26)	v-ΦMP (n=46)	p		
Поперечный размер ЛП, мм	52,5±7,2	54,2±6,1	54,5±8,7	50,9±6,4	0,064		
Продольный размер ЛП, мм	66,3±8,3	65,8±6,5	69,2±8,3	64,9±8,5	0,099		
Объем ЛП (i), мл/м²	66,4±20,6	72,2±25,9	74,3±21,6	62,4±15,9	0,108		
КДО ЛЖ, мл	146,1±49,7	142,7±55,1	143,6±48,6	148,8±49,2	0,873		
$K$ ДИ $\Lambda$ Ж, м $\Lambda$ /м $^2$	74,7±24,8	75,1±24,5	70,2±21,9	77,0±26,6	0,536		
КСО ЛЖ, мл	80,1±38,2	69,1±36,0	75,3±37,0	86,9±39,2	0,196		
КСИ ЛЖ, мл/м <sup>2</sup>	40,4±19,7	36,0±15,9	36,7±17,3	44,0±21,9	0,192		
УО ЛЖ, мл	67,1±21,6	73,7±24,6	68,3±20,1	64,0±21,2	0,279		
УИ ЛЖ, мл/м <sup>2</sup>	34,3±11,0	39,1±12,2	33,4±9,1	33,1±11,3	0,143		
ФВ ЛЖ, %	46,7±11,0	53,5±8,5	49,2±10,8	42,7±10,2	$<0,001$ $p_{1-2}=0,357; p_{2-3}=0,029; p_{1-3}<0,001$		
Сердечный выброс, л/мин	5,1±2,0	5,9±2,4	5,5±2,2	4,6±1,6	$0,035 \\ p_{1-2} = 0,782; p_{2-3} = 0,160; p_{1-3} = 0,053$		
Сердечный индекс, л/мин/м²	2,6±1,0	3,1±1,1	2,6±0,9	2,4±0,9	$0,025$ $p_{1-2}=0,289; p_{2-3}=0,431; p_{1-3}=0,020$		
ТМЖП, мм	12,6±2,7	11,6±1,4	12,3±3,0	13,0±2,9	0,151		
ТЗС ЛЖ, мм	10,2±1,7	10,0±1,1	10,0±1,2	10,5±2,1	0,387		
Поперечный размер ПП, мм	46,4±7,0	49,2±4,9	48,0±7,5	44,5±6,9	$\begin{matrix} 0,023 \\ p_{1-2} = 0,854; p_{2-3} = 0,093; p_{1-3} = 0,046 \end{matrix}$		
Продольный размер ПП, мм	59,6±9,7	61,9±5,6	63,8±10,8	56,4±9,2	$0,004$ $p_{1-2}$ =0,787; $p_{2-3}$ =0,004; $p_{1-3}$ =0,096		
Объем ПП (i), мл/м $^2$	57,0±10,7	61,8±12,5	57,0±6,4	55,1±11,6	0,092		
КДР ПЖ базальный, мм	40,7±7,86	41,7±7,3	39,4±10,1	41,2±6,4	0,669		
Степень ТР	2,4±0,7	2,6±0,6	2,3±0,7	2,3±0,7	0,398		
СДЛА, мм рт. ст.	51,1±13,2	57,3±18,6	47,4±11,0	50,9±11,4	0,053		
Показатели митрального клапан	a						
Площадь МК, см <sup>2</sup>	5,8±1,6	6,1±1,7	5,8±1,9	5,7±1,3	0,603		
ΦK MK (ML), mm	37,1±4,2	38,6±3,7	37,3±4,7	36,4±4,0	0,166		
ФК МК (АР), мм	39,1±4,0	40,5±4,1	38,7±4,8	38,8±3,3	0,274		
Длина ПМС, мм	27,2±3,3	27,7±3,9	27,3±2,7	27,0±3,3	0,779		
Длина ЗМС, мм	14,0±3,1	15,5±4,5	14,0±3,0	13,4±2,3	0,169		
Средний градиент давления на МК, мм рт. ст.	1,8±0,8	1,9±1,0	2,0±1,1	1,7±0,6	0,298		
Показатели митральной регурги	тации						
Ширина VC (biplane), мм	12,2±3,1	13,1±4,3	12,1±2,8	12,0±2,7	0,431		
Радиус PISA, мм	9,9±2,5	11,6±2,5	9,9±2,9	9,2±2,1	0,003 $p_{1-2}=0,076; p_{2-3}=0,436; p_{1-3}=0,002$		
ERO, mm²	0,58±0,22	0,71±0,23	0,61±0,27	0,51±0,14	$0,004$ $p_{1-2}$ =0,209 $p_{2-3}$ =0,199; $p_{1-3}$ =0,003		
Объем МР, мл	66,9±20,9	81,8±24,0	69,0±24,8	60,2±13,3	$<0,001$ $p_{1-2}=0,093; p_{2-3}=0,165; p_{1-3}<0,001$		
Степень МР	3,5±0,5	3,8±0,4	3,5±0,5	3,4±0,5	0,053		
Степень Выраженная) МР	42 (47,1)	4 (23,5)	13 (50,0)	25 (54,3)	0,097		
4-я (тяжелая)	47 (52,8) 13 (76,5) 13 (50,0) 21 (45,7)						
A 244446 TREACT 20 ABULL D DAAG 2 DIAMETERIOC VOCA CREATER O A CT24 A 20 THOSE OF A CHARLES (M+SD) IN HOMBER 2 A LULY TREACHDELY D (%) TIMP_							

Данные представлены в виде арифметического среднего и стандартного отклонения ( $M\pm SD$ ) и номинальных переменных, п (%). ПМР – первичная митральная регургитация (а-ФМР – атриогенная; v-ФМР – вентрикулярная); ЛП – левое предсердие; КДО – конечный диастолический объем;  $\Lambda X$  – левый желудочек; КДИ – конечный диастолический индекс; КСО – конечный систолический объем; КСИ – конечный систолический индекс; УО – ударный объем; УИ – ударный индекс; ФВ  $\Lambda X$  – фракция выброса левого желудочка; ТМЖП – толщина межжелудочковой перегородки; ТЗС  $\Lambda X$  – толщина задней стенки левого желудочка; ПП – правое предсердие; КДР ПX – конечный диастолический размер правого желудочка; ТР – трикуспидальная регургитация; СД $\Lambda A$  – систолическое давление в легочной артерии; МК – митральный клапан; ФК МК – фиброзное кольцо митрального клапана; ПМС – передняя митральная створка; ЗМС – задняя митральная створка; VC – перешеек регургитации; PISA – проксимальная изоскоростная поверхность; ERO – эффективная площадь отверстия регургитации; МР – митральная регургитация.



**Таблица 3.** Госпитальные и 30-дневные результаты транскатетерной аппроксимации митральных створок с помощью системы MitraClip в зависимости от генеза

Показатель	Общая группа	ПМР	ФІ	MP	p	
Показатель	(n=89)	(n=17)	а-ФМР (n=26)	v-ФМР (n=46)		
1 клипса	64 (71,1)	9 (52,9)	21 (80,8)	34 (73,9)	0,119	
2 клипсы	24 (27,0)	8 (47,1)	5 (19,2)	11 (23,9)	0,132	
3 клипсы	1 (1,1)	0 (0,0)	0 (0,0)	1 (2,2)	0,999	
Среднее число клипс на 1 пациента	1,29±0,48	1,47±0,51	1,19±0,40	1,28±0,50	0,186	
NT	11 (12,4)	5 (29,4)	3 (11,5)	3 (6,5)	0,063	
NTW	24 (27,0)	3 (17,6)	6 (23,1)	15 (32,6)	0,484	
XT	12 (13,5)	3 (17,6)	3 (11,5)	6 (13,0)	0,840	
XTW	62 (69,7)	12 (70,6)	18 (69,2)	32 (69,6)	0,999	
Общая продолжительность процедуры, мин	168,5±69,7	166,0±46,2	158,8±64,2	174,0±78,8	0,712	
Длительность пребывания в стационаре, сут	8,2±3,2	9,6±4,7	8,8±2,7	7,4±2,5	0,033 p <sub>1-2</sub> =0,702; p <sub>2-3</sub> =0,177; p <sub>1-3</sub> =0,044	
Длительность нахождения в стационаре после процедуры, сут	5,9±2,4	6,5±3,8	6,1±2,4	5,5±1,5	0,206	
ХСН ІІ ФК	80/88 (90,9)	13/16 (81,3)	23/26 (88,5)	44/46 (95,7)	0,178	
XCH III ΦK	8/88 (9,1)	3/16 (18,8)	3/26 (11,5)	2/46 (4,3)		
XCH IV ΦK	0/88	0/16	0/26	0/46	-	
Госпитальные осложнения						
Гидроторакс	1 (1,1)	0	0	1 (2,2)	0,999	
XCH, требующая кардиотонической поддержки	10 (11,2)	3 (17,6)	2 (7,7)	5 (10,9)	0,608	
Смерть	1 (1,1)	1 (5,9)	0	0	0,191	
TI) (D	#1 (D 1					

ПМР – первичная митральная регургитация; ФМР – функциональная митральная регургитация (а – атриогенная; v – вентрикулярная); XCH – хроническая сердечная недостаточность; ФК – функциональный класс.

а-ФМР составляло 47,4 $\pm$ 11,0 мм рт. ст., в группе v-ФМР – 50,9 $\pm$ 11,4 мм рт. ст. (p=0,053). Подробный анализ исходных данных ЭхоКГ представлен в таблице 2.

У 71,1% пациентов осуществлялась имплантация одной клипсы, в 27,0% случаев было имплантировано две клипсы и у 1 (1,1%) пациента — три клипсы в течение одной процедуры. В 69,7% случаев применялась клипса XTW (шириной 6 мм, высотой 18 мм и длиной захватывающей части створки 9 мм). Продолжительность искусственной вентиляции легких во время процедуры составила 2,0 [2,0; 3,0] ч. Общая продолжительность процедуры (от прокола бедренной вены до ушивания бедренной вены) составила  $168,5\pm69,7$  мин. Процедурные характеристики статистически значимо не различались между группами. Длительность пребывания в стационаре после прцедуры составила в среднем  $5,9\pm2,4$  сут. Анализ госпитальных результатов представлен в таблице 3.

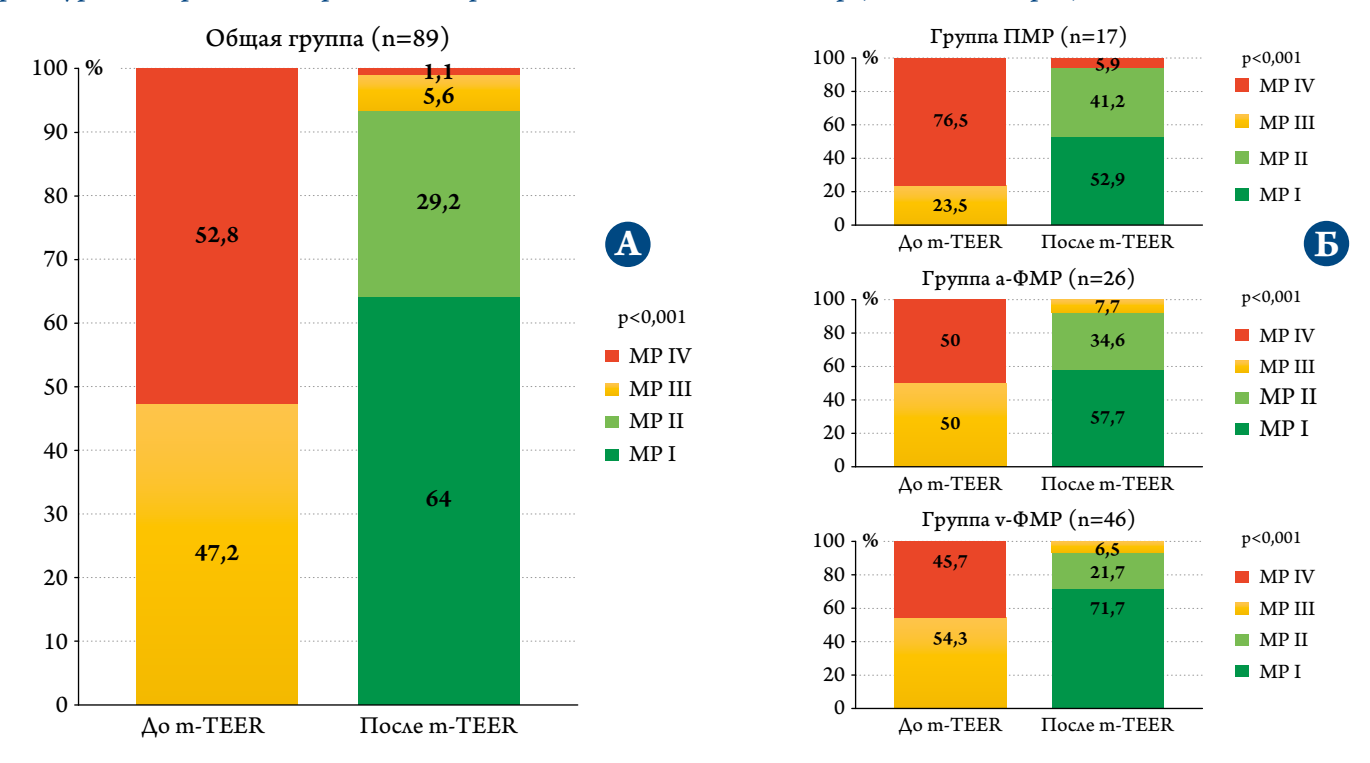
Первичная конечная точка безопасности была достигнута в двух случаях. В первом случае причиной стало отсоединение устройства от одной из створок (в области медиальных сегментов) на госпитальном этапе, что привело к развитию тотальной МР. Пациентка была прооперирована, в митральную позицию был имплантирован механический протез, однако в послеоперационном периоде развилась полиорганная недостаточность, в ре-

зультате которой пациентка скончалась на 14-е сутки. Во втором случае во время выполнения транссептальной пункции была травмирована стенка левого предсердия, что потребовало последующего консервативного лечения, в связи с возникшим осложнением процедура была прекращена. Таким образом, безопасность процедуры составила 97,8%.

Конечная точка, отражающая эффективность процедуры в виде редукции степени МР, была достигнута у 93,2% пациентов (из них ≤ І степени у 64% пациентов). Причем уменьшение степени МР как минимум на 1 степень отмечалось в 97,8% случаев. В 5,6% случаев отмечалась III степень MP. Статистически значимых различий между группами относительно уменьшения степени МР не выявлено. В одном случае при отсоединении устройства от одной из створок отмечалось развитие MP IV степени. Максимальное уменьшение MP до I степени и менее отмечено в группе v- $\Phi$ MP (71,7%), что больше, чем в других группах (а-ФМР – 57,7%; ПМР – 52,9%), однако статистически значимых различий по сравнению с другими группами не выявлено (рис. 1). Кардиотоническая поддержка после процедуры с целью коррекции ХСН потребовалась в 11,2% случаев и не зависела от этиологического фактора МР. В одном случае отмечался правосторонний гидроторакс в послеоперационном периоде.



**Рисунок 1.** Динамика степени митральной регургитации до и после транскатетерной процедуры клипирования митральных створок с помощью системы MitraClip (в 30-дневный срок)

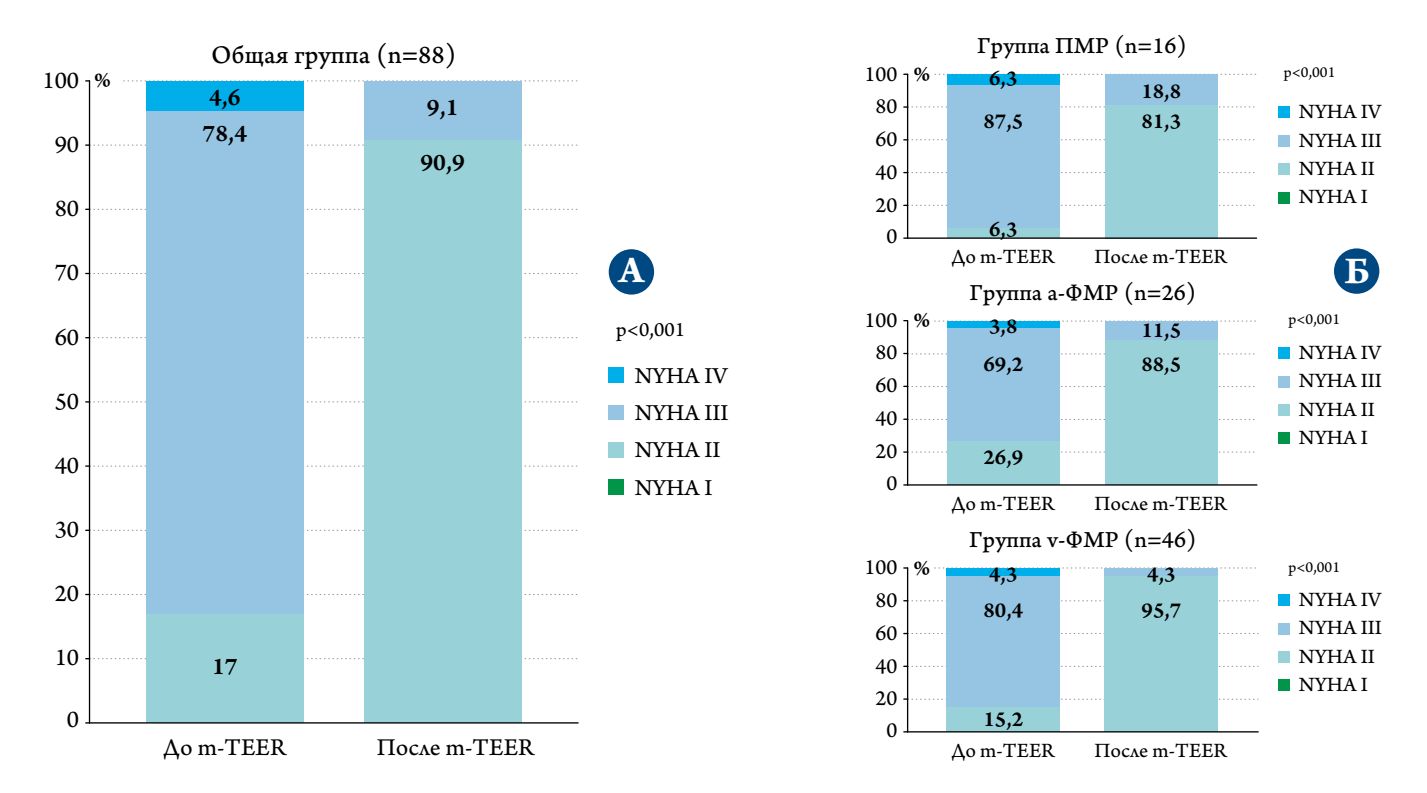


 ${f A}$  – в общей группе пациентов;  ${f B}$  – в зависимости от этиологического фактора.

Анализ эхокардиографических параметров на госпитальном и 30-дневном этапах наблюдения представлен в таблице 4.

Уменьшение симптоматики и снижение ФК по классификации NYHA отмечено во всех группах (p<0,001; puc. 2). В группе v-ФМР достигнуты более выраженные

**Рисунок 2.** Динамика функционального класса XCH по NYHA до и после транскатетерной процедуры клипирования митральных створок с помощью системы MitraClip (в 30-дневный срок)



 ${f A}$  – в общей группе пациентов;  ${f B}$  – в зависимости от этиологического фактора.



Таблица 4. Госпитальные и 30-дневные результаты транскатетерной аппроксимации митральных створок с помощью системы MitraClip по данным эхокардиографии

Параметр		Общая группа	ПМР	ФМ	MP	_		
		(n=89)	(n=17)	а-ФМР (n=26) v-ФМР (n=46)		p		
Поперечный размер ЛП, мм		51,3±7,6	52,5±6,5	53,4±9,6	49,6±6,4	0,094		
Продольный размер ЛП, мм		51,3±7,6	64,1±7,3	67,2±8,3	63,0±8,7	0,116		
Объем ЛП (i), мл/ $\mathrm{M}^2$		72,5±22,1	72,5±22,1	67,3±25,6	60,8±15,8	0,104		
КДО ЛЖ,	МΛ	122,7±43,6	113,2±45,2	113,9±40,1	131,2±44,1	0,164		
КДИ ЛЖ, мл/м <sup>2</sup>		62,8±22,0	59,5±19,8	55,7±18,5	67,9±23,4	0,059		
ксо лж,	МΛ	70,6±35,2	62,5±34,7	62,3±29,0	78,2±37,5	0,105		
кси лж,	$M\Lambda/M^2$	36,0±17,9	32,5±15,6	30,5±13,8	40,5±19,8	0,050		
УО ЛЖ, м	Λ	52,1±14,2	50,7±13,3	51,6±15,5	53,0±14,0	0,830		
УИ ЛЖ, м	$\Lambda/M^2$	26,7±7,1	27,0±6,4	25,2±6,9	27,4±7,4	0,444		
ФВ ЛЖ, %		44,3±9,6	47,1±9,3	46,4±8,3	42,1±10,0	0,074		
Сердечный	й выброс, л/мин	3,9±1,1	4,0±1,3	4,1±1,1	3,8±1,0	0,509		
Сердечный	Сердечный индекс, л/мин/м <sup>2</sup>		2,1±0,6	2,0±0,5	1,9±0,5	0,516		
Поперечный размер ПП, мм		46,0±6,8	48,0±5,6	47,9±7,3	44,2±6,5	0,034 p <sub>1-2</sub> =0,998; p <sub>2-3</sub> =0,066; p <sub>1-3</sub> =0,114		
Продольный размер ПП, мм		57,9±9,7	59,7±5,3	61,6±10,9	55,2±9,5	0,016 p <sub>1-2</sub> =0,789; p <sub>2-3</sub> =0,016; p <sub>1-3</sub> =0,204		
Объем ПП (i), мл/м²		54,5±10,4	59,5±12,4	54,4±6,4	52,8±11,0	0,070		
КДР ПЖ базальный, см		4,1±0,6	4,1±0,7	4,1±0,6	4,1±0,6	0,905		
Степень ТР		2,3±0,7	2,4±0,7	2,3±0,6	2,2±0,7	0,589		
СДЛА, мм рт. ст.		45,5±10,2	47,4±9,6	43,7±8,0	45,9±11,4	0,479		
Резидуалы	Резидуальный ДМПП, мм		3,4±1,0	3,1±1,4	3,2±1,2	0,709		
Оценка эф	Оценка эффективности процедуры m-TEER							
Средний градиент давления на МК, мм рт. ст.		2,9±1,3	2,8±1,1	3,3±1,9	2,8±0,8	0,453		
Ширина VC (biplane), мм		2,9±0,9	3,3±1,1	3,0±0,9	2,7±0,9	0,102		
Степень МР		1,6±0,6	1,6±0,5	1,6±0,6	1,5±0,6	0,421		
Степень МР	≤ I (незначительная)	57 (64,0)	9 (52,9)	15 (57,7)	33 (71,7)			
	II (умеренная)	26 (29,2)	7 (41,2)	9 (34,6)	10 (21,7)			
	III (умеренно- выраженная)	5 (5,6)	0	2 (7,7)	3 (6,5)	0,248		
	IV (тяжелая)	1 (1,1)	1 (5,9)	0	0			
TIMD TORRANGE AUTROLIANCE PORTERWING, MAD ANTIQUE ALVING AUTROLIANCE PORTERWING (2 MAD 2000 AUTROLIANCE AUTROLIANCE PORTERWING AUTROLIANC								

 $\Pi MP$  – первичная митральная регургитация;  $\Phi MP$  – функциональная митральная регургитация (а- $\Phi MP$  – атриогенная, v- $\Phi MP$  – вентрикулярная);  $\Lambda \Pi$  – левое предсердие;  $K\Delta O$  – конечный диастолический объем;  $\Lambda \mathcal{K}$  – левый желудочек;  $K\Delta U$  – конечный диастолический индекс; KCO – конечный систолический объем; KCU – конечный систолический индекс; KCO – ударный объем; KCO – ударный объем; KCO – конечный диастолический размер правого желудочка; ECO – трикуспидальная регургитация; ECO – систолическое давление в легочной артерии; ECO – межпредсердной перегородки; ECO – митральный клапан; ECO – перешеек регургитации; ECO – митральная регургитация.

симптоматическое улучшение и снижение ФК (у 95,7% пациентов с II ФК после процедуры).

#### Обсуждение

Настоящее исследование представляет интерес в свете влияния этиологического фактора на результаты интервенционного лечения MP с помощью системы MitraClip. Впервые m-TEER было выполнено в 2003 г. в рамках исследования EVEREST I, в которое вошли 27 пациентов [12]. Успешность процедуры составила 88,9%. Стабильность результатов (исходный регресс MP ≤II степени) была подтверждена у 48% пациентов через 6 мес наблюдения. Исследование EVEREST II было посвящено сравнению результатов транскатетерного и хирургическо-

го лечения МР. При этом более 70% пациентов имели МР органической этиологии. Несмотря на менее эффективное влияние на МР при транскатетерной процедуре по сравнению с хирургическим вмешательством m-TEER была связана с сопоставимым уменьшением симптоматики, а также более высоким профилем безопасности [10]. По данным 5-летних результатов, несмотря на отсутствие различий по смертности между хирургическими и интервенционными вмешательствами (20,8% против 26,8%; p=0,36), были отмечены более высокие показатели стабильности хирургической реконструкции МК (частота повторных операций по поводу несостоятельности реконструкции — 8,9% против 27,9% при m-TEER; p=0,003) [13,14].



В 2018 г. были опубликованы результаты двух многоцентровых рандомизированных клинических исследований (РКИ) – MITRA-FR (Percutaneous Repair with the MitraClip Device for Severe Functional/Secondary Mitral Regurgitation) и COAPT (Cardiovascular Outcomes Assessment of the MitraClip Percutaneous Therapy for Heart Failure Patients with Functional Mitral Regurgitation), в которых оценивались эффективность и безопасность m-TEER у пациентов с тяжелой ФМР и систолической ХСН. В исследовании СОАРТ получены впечатляющие данные, так с помощью транскатетерной технологии лечения МР удалось значительно сократить общую смертность (29,1% против 46,1% в группе оптимальной медикаментозной терапии (ОМТ); отношение рисков – ОР 0,62; 95% доверительный интервал – ДИ 0,46-0,82; р<0,001), а также ежегодную частоту госпитализации по поводу прогрессирования ХСН (35,8% по сравнению с 67,9% в группе ОМТ; ОР 0,53; 95% ДИ 0,40-0,70; р<0,001) [15]. Кроме того, пациенты после процедуры m-TEER продемонстрировали более высокое качество жизни, уменьшение клинических симптомов со снижением ФК по классификации NYHA, и более эффективное обратное ремоделирование ЛЖ по сравнению с группой консервативной терапии.

Данные исследования MITRA-FR продемонстрировали заметно отличающиеся результаты. В этой работе в качестве комбинированной первичной конечной точки была определена смерть от любой причины или незапланированная госпитализация по поводу ХСН в течение 12 мес. Транскатетерное вмешательство на МК не обеспечивало преимуществ относительно контрольной группы (медикаментозной терапии). Частота незапланированных госпитализаций по поводу ХСН составила 48,7% у пациентов интервенционной группы по сравнению с 47,4% пациентов контрольной группы (ОР 1,13; 95%  $\Delta M$  0,81–1,56) [16]. Смертность к концу года наблюдения в обеих группах не различалась (ОР 1,11; 95% ДИ 0,69-1,77). Несмотря на отсутствие различий в отдаленном периоде наблюдения, у 76,4% пациентов в группе вмешательства ФМР к моменту выписки из стационара составляла ≤І степени. Вероятным объяснением последующих неблагоприятных клинических исходов и неустойчивости непосредственного результата у пациентов является выраженная систолическая дисфункция ЛЖ. В подобных случаях ФМР отражает выраженность кардиомиопатии, являясь маркером тяжести заболевания, а не инициирующим звеном в патофизиологии ХСН.

В РКИ RESHAPE-H2 (Randomised Investigation of the MitraClip Device in Heart Failure: Second Trial in Patients with Clinically Significant Functional Mitral Regurgitation) [17] была рассмотрена эффективность транскатетерной реконструкции МК при умеренной или тяжелой ФМР,

связанной с ХСН, в сочетании с медикаментозной поддержкой (интервенционная группа, n=250) по сравнению с фармакотерапией (контрольная группа, n=255). Период наблюдения составил 18,8±8,2 мес. Эти исследования показали, что сочетание транскатетерного вмешательства и медикаментозной терапии демонстрирует значительные преимущества относительно редукции степени МР, снижения частоты госпитализаций и улучшения функционального статуса пациента. Степень МР ≤ II также чаще наблюдалась в интервенционной группе – 90,4% против 36,0% в группе ОМТ (p<0,001). Несмотря на значительные улучшения в клинических исходах, исследование не выявило статистически значимые изменения в общей выживаемости (17,0% в группе m-TEER и 18,5% в контроле; р>0,05), подчеркивая важность дальнейшего изучения долгосрочных эффектов указанной методики.

Как известно, ФМР может быть обусловлена различным генезом, каждый из которых влияет на постпроцедурную эффективность и безопасность имплантации устройства [18]. Особый интерес вызывает проблема атриогенной ФМР (а-ФМР), поскольку число исследований, посвященных именно этому типу патологии, пока ограничено. В ходе ретроспективного анализа реестра GIOTTO, представляющего данные пациентов с различными подтипами ФМР (а-ФМР – 6%, v-ФМР ишемического генеза – 47% и v- $\Phi$ MP неишемического генеза – 47%), было выявлено, что процедура m-TEER продемонстрировала наибольшую эффективность у пациентов с а-ФМР [19]. По данным 30-дневного периода, степень MP ≤I отмечена у 67,6% пациентов, MP ≤ II степени у 97,2% пациентов (в общей группе ФМР 56,5 и 91,2% соответственно). Среди пациентов с а-ФМР отмечен более низкий уровень сердечно-сосудистой смертности и частоты госпитализаций на фоне прогрессирующей сердечной недостаточности (комбинированный показатель), которая была примерно в 2 раза ниже, чем в группах ишемической v-ФМР и неишемической v-ФМР при 3-летнем наблюдении (по сравнению с группой ишемической v-ФМР ОР 0,43; 95% ДИ 0,21-0,88; р=0,021 и по сравнению с группой неишемической v-ФМР ОР 0,45; 95% ДИ 0,22-0,93; р=0,03). Стоит подчеркнуть, что относительно небольшой размер подгруппы пациентов с а-ФМР стал важным ограничивающим фактором для обобщающих выводов.

Схожие данные получены в исследовании Т. Тапака и соавт. [20], в котором изучались результаты m-TEER (92% MitraClip, 8% PASCAL) у пациентов с атриогенной и вентрикулярной формами ФМР: а-ФМР – 28,3% (n=125), v-ФМР – 71,7% (n=316). Медиана наблюдения составила 422 [173; 863] дня. Согласно полученным данным, оптимальный результат (резидуальная  $MP \leq I$  степени в сочетании со средним трансмитральным градиентом



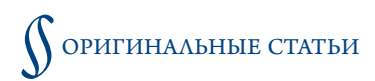
давления <5 мм рт. ст.) сохранился в 60% (n=75) случаев в группе a- $\Phi$ MP и в 62% (n=197) случаев в группе v- $\Phi$ MP. Резидуальная MP > I степени была связана с более высоким риском развития комбинированной конечной точки: общая смертность и госпитализация из-за прогрессирования ХСН (ОР 3,55; 95% ДИ 1,51-8,36; р=0,004). Отдельно подчеркивается негативное влияние остаточного среднего трансмитрального градиента давления ≥5 мм рт. ст. на общий прогноз заболевания и отсутствие снижения ФК по NYHA у пациентов аритмогенной группы, даже при оптимальной редукции МР (ОР 4,37; 95%  $\Delta H$  1,82–10,51; p=0,001). Данные взаимосвязи также прослеживались в многофакторных моделях. В исследовании С. Öztürk и соавт. [21] несмотря на высокий уровень успешности процедуры – 91,3%, у пациентов с ПМР отмечена более высокая частота несостоятельности интервенционной вальвулопластики (ФМР 3,1%, ПМР 8,6%; p=0,04), несмотря на это 5-летняя смертность оказалась выше у пациентов с  $\Phi$ MP (p=0,05).

В нашей работе успешность процедуры m-TEER при 30-дневном наблюдении составила 97,8% (госпитальная летальность – 1,1%; гемоперикард – 1,1%). Редукция МР как минимум на 1 степень отмечалась у 97,8% пациентов, при этом первичная конечная точка эффективности (MP ≤ II степени) была достигнута у 93,2% пациентов к моменту выписки из стационара. Следует отметить, что наибольшая частота редукции MP до I степени и менее была зарегистрирована в группе v-ФМР (71,7%), что превышало аналогичные показатели в группах а-ФМР (57,7%) и ПМР (52,9%). Кроме того, во всех группах отмечено достоверное снижение выраженности симптомов и ФК по NYHA (p<0,001). Наиболее выраженное клиническое улучшение наблюдалось в группе v-ФМР, в которой 95,7% пациентов после процедуры имели ІІ ФК по NYHA. В группах а-ФМР и ПМР этот показатель составил 88,5 и 81,3% соответственно.

Первый систематический обзор и метаанализ [22], посвященный сравнению клинических результатов m-TEER при а-ФМР (539 пациентов) и v-ФМР (3486 пациентов), показал, что резидуальная MP ≤ II степени была достигнута в 97,1% случаев в группе а-ФМР и в 93,0% случаев в группе v-ФМР при долгосрочном (6-24 мес) наблюдении. Снижение ФК до NYHA ≤ II отмечалось с частотой в 72,4 и 73,4% случаев в соответствующих группах за тот же период наблюдения. Согласно проведенному метаанализу, статистически значимой разницы по первичным (постпроцедуральная MP ≤ II степени) или вторичным (NYHA ≤ II и общая смертность) исходам не обнаружено. Приведенные результаты позволили авторам сделать вывод, что m-TEER обладает сходной клинической эффективностью как при атриогенном, так и при вентрикулярном варианте ФМР.

Пациенты с МР органического генеза представляют особую группу риска развития постпроцедурных осложнений и прогрессирования MP после процедуры m-TEER [23]. Представляют интерес итоги исследования, в котором изучали результаты m-TEER с помощью системы PASCAL (Edwards Lifisciences.) [24] у пациентов с различными этиологическими вариантами MP (n=282 с MP ≥ III и IV степени:  $\Pi MP - 33\%$ ,  $\Phi MP - 50\%$  и смешанная MP - 17%). Несмотря на хороший технический успех во всех исследуемых группах (96–98%), к моменту выписки МР до ≤ ІІ степени отмечалась у большинства пациентов: 86,7% с ПМР, 97,2% с ФМР и 98,0% с МР смешанной этиологии (р=0,004); уменьшение до  $\leq$  I степени отмечено у 57,8, 75,2 и 77,6% пациентов соответственно (р=0,010). По истечении 30 сут постпроцедурный успех сохранился у 67,1, 90,8 и 83,8% в аналогичных группах (p<0,001). Однако в группе ПМР этот показатель был значительно ниже ввиду большего числа случаев резидуальной MP ≥ III степени и среднего трансмитрального градиента давления ≥ 5 мм рт. ст., по сравнению с другими группами. В течение года оценка успешности процедуры достигла 51,5, 75,5 и 50,0% в соответствующих группах (p<0,001). Среди факторов, ограничивающих стойкость постпроцедурных результатов, в группе ПМР выделили значимую резидуальную MP  $\geq$  III степени (17,6%), средний градиент давления ≥5 мм рт. ст. (13,2%) и необходимость повторного вмешательства (10,3%). Анатомическими критериями, повышающими вероятность неоптимальной редукции МР и/или нестабильности результатов, по данным разных авторов, являются выраженная деформация МК, болезнь Барлоу, нецентральная патология или небольшая площадь МК [24–27].

Интерес представляет ретроспективный анализ данных реестра CUTTING-EDGE, включающий пациентов после несостоятельности транскатетерной реконструкции МК (гемодинамически значимая МР или наличие митрального стеноза) [28]. Пациенты были изучены в рамках этиологического генеза исходной МР: у 155 (47%) пациентов имелась ПМР и у 175 (53%) – ФМР. Частота развития митрального стеноза после m-TEER была выше в группе ФМР (19,4% против 9,0%, соответственно). Рецидив МР до умеренно тяжелой и/или тяжелой степени наблюдался в обеих группах, без статистически значимых различий (ПМР – 91,3%, ФМР – 88,5%). Средний период от процедуры m-TEER до хирургической операции на МК составил 3,5 [0,5; 11,6] мес, в целом также без статистически значимых различий между группами (p=0,74). Стоит отметить, что из всех оперированных пациентов при несостоятельной mTEER в большинстве случаев выполнялось протезирование МК, тем не менее в 7,3% случаев была выполнена хирургическая реконструкция клапана, с преобладанием в группе ПМР (11,0% против 4,0%; p=0,019). Авторы выделили технические аспек-



ты, снижающие вероятность реконструкции МК после m-TEER, такие как дефицит ткани после эксплантации клипсы; признаки митрального стеноза, чаще наблюдаемые у пациентов с ФМР, и необходимость в сложных хирургических методиках, требующих большего времени аноксии миокарда. Это подчеркивает важность учета сложности анатомии и характеристик пациентов при принятии решения о проведении вмешательства. Краткосрочные и среднесрочные данные показали, что в группе ФМР наблюдалась более высокая смертность (20,4% против 12,7% по 30-дневным результатам и 31,3% против 23,2% в течение года).

Несмотря на достигнутый положительный эффект от процедуры, по данным проведенного нами анализа, очевидно, что этиологический фактор MP оказывает значительное влияние на результаты с наибольшей эффективностью в группе v-ФМР. m-TEER может стать стратегией выбора для пациентов из группы высокого хирургического риска, однако требует тщательного подхода к выбору кандидатов для успеха постпроцедурных отдаленных результатов.

# Ограничения исследования

Наше исследование имеет ряд ограничений, которые необходимо учитывать при интерпретации полученных результатов. Во-первых, это был одноцентровый анализ, в связи с чем результаты должны быть подтверждены в дополнительных проспективных многоцентровых исследованиях с более крупной когортой пациентов. Во-вторых, длительность наблюдения составила 30 дней, что может быть недостаточным сроком для полного выявления влияния различных факторов в оценке долгосрочной эффективности и безопасности процедуры m-TEER. Таким образом, полученные нами результаты представляют собой достаточно важную предварительную информацию, которая

требует дальнейшего изучения для полноценного понимания клинической значимости проведения транскатетерного вмешательства на МК край-в-край. Кроме того, в исследование были включены пациенты с имплантированным электрокардиостимулятором. Как известно, постоянная стимуляция правого желудочка формирует многофакторный кумулятивный эффект развития структурных изменений камер сердца, что при наборе большего количества данных потребует выделения в отдельную подгруппу пациентов с последующим анализом в этой подгруппе.

### Заключение

В ходе 30-дневного наблюдения процедура m-TEER продемонстрировала высокую безопасность – 97,8% (госпитальная летальность – 1,1%; гемоперикард – 1,1%) и эффективность – 97,8%. Редукция митральной регургитации ≥ I степени отмечена у 97,8% пациентов с достижением целевого уровня митральной регургитации ≤ II степени у 93,2%. Независимо от этиологии митральной регургитации, у 90,9% пациентов наблюдалось улучшение до II функционального класса хронической сердечной недостаточности по классификации NYHA.

Таким образом, транскатетерная реконструкция митрального клапана край-в-край может быть направлена на коррекцию митральной регургитации как первичного, так и функционального генеза, однако для подтверждения устойчивости результатов у этих пациентов необходимо длительное наблюдение.

#### Финансирование

Финансирование отсутствует.

Авторы заявляют об отсутствии конфликта интересов.

Статья поступила 20.07.2025

#### СПИСОК ЛИТЕРАТУРЫ

- Vahanian A, Beyersdorf F, Praz F, Milojevic M, Baldus S, Bauersachs J et al. 2021 ESC/EACTS Guidelines for the management of valvular heart disease. European Heart Journal. 2022;43(7):561–632. DOI: 10.1093/eurheartj/ehab395
- Otto CM, Nishimura RA, Bonow RO, Carabello BA, Erwin JP, Gentile F et al. 2020 ACC/AHA Guideline for the Management of Patients With Valvular Heart Disease: Executive Summary: A Report of the American College of Cardiology/American Heart Association Joint Committee on Clinical Practice Guidelines. Circulation. 2021;143(5):e35–71. DOI: 10.1161/ CIR.00000000000000932
- Dhaduk N, Chaus A, Williams D, Vainrib A, Ibrahim H. Secondary Mitral Regurgitation: Diagnosis and Management. US Cardiology Review. 2024;18:e05. DOI: 10.15420/usc.2022.34
- Koukos M, Dimitroglou Y, Tsartsalis D, Beneki E, Tolis E, Patsourakos D et al. Left Atrium: A New Prognostic Marker and Therapeutic Target in Secondary Mitral Regurgitation? European Cardiology Review. 2024;19:e04. DOI: 10.15420/ecr.2023.47

- Suradi HS, Kavinsky CJ, Hijazi ZM. Percutaneous mitral valve repair: The MitraClip device. Global Cardiology Science and Practice. 2016;2016(2):e201617. DOI: 10.21542/gcsp.2016.17
- Goar FSt, Asgar A, Alfieri O, Asch FM, Maisano F, Kar S et al. Supplement to Cardiac Interventions today. Design evolution of the Mitra-Clip device. September/october. 2023;17(5):1-28. Av. at: https://assets.bmctoday.net/citoday/pdfs/cit0923\_Abbott\_supp\_2\_COM-BINED\_OUS%20New.pdf.
- Lang RM, Badano LP, Mor-Avi V, Afilalo J, Armstrong A, Ernande L et al. Recommendations for Cardiac Chamber Quantification by Echocardiography in Adults: An Update from the American Society of Echocardiography and the European Association of Cardiovascular Imaging. Journal of the American Society of Echocardiography. 2015;28(1):1-39.e14. DOI: 10.1016/j.echo.2014.10.003
- 8. Zoghbi WA, Adams D, Bonow RO, Enriquez-Sarano M, Foster E, Grayburn PA et al. Recommendations for Noninvasive Evaluation of Native Valvular Regurgitation: A Report from the American Society of Echocardiography Developed in Collaboration with the Society for Cardiovascular Magnetic Resonance. Journal of the American



- Society of Echocardiography. 2017;30(4):303–71. DOI: 10.1016/j. echo.2017.01.007
- Mao W, Caballero A, Hahn RT, Sun W. Comparative quantification of primary mitral regurgitation by computer modeling and simulated echocar-diography. American Journal of Physiology-Heart and Circulatory Physiology. 2020;318(3):H547–57. DOI: 10.1152/ajpheart.00367.2019
- Feldman T, Foster E, Glower DD, Kar S, Rinaldi MJ, Fail PS et al. Percutaneous Repair or Surgery for Mitral Regurgitation. New England Journal of Medicine. 2011;364(15):1395–406. DOI: 10.1056/NEJMoa1009355
- Stone GW, Adams DH, Abraham WT, Kappetein AP, Généreux P, Vranckx P et al. Clinical Trial Design Principles and Endpoint Definitions for Transcatheter Mitral Valve Repair and Replacement: Part 2: Endpoint Definitions. Journal of the American College of Cardiology. 2015;66(3):308–21. DOI: 10.1016/j.jacc.2015.05.049
- Feldman T, Wasserman HS, Herrmann HC, Gray W, Block PC, Whitlow P et al. Percutaneous Mitral Valve Repair Using the Edge-to-Edge Technique. Journal of the American College of Cardiology. 2005;46(11):2134–40. DOI: 10.1016/j.jacc.2005.07.065
- Feldman T, Kar S, Elmariah S, Smart SC, Trento A, Siegel RJ et al. Randomized Comparison of Percutaneous Repair and Surgery for Mitral Regurgitation: 5-Year Results of EVEREST II. Journal of the American College of Cardiology. 2015;66(25):2844–54. DOI: 10.1016/j.jacc.2015.10.018
- Nappi F, Nenna A, Sing SSA, Timofeeva I, Mihos C, Gentile F et al. Mitral regurgitation: lessons learned from COAPT and MITRA-Fr. Journal of Thoracic Disease. 2020;12(5):2936–44. DOI: 10.21037/jtd.2020.01.67
- Stone GW, Lindenfeld J, Abraham WT, Kar S, Lim DS, Mishell JM et al. Transcatheter Mitral-Valve Repair in Patients with Heart Failure. New England Journal of Medicine. 2018;379(24):2307–18. DOI: 10.1056/NEJMoa1806640
- Obadia J-F, Messika-Zeitoun D, Leurent G, Iung B, Bonnet G, Piriou N et al. Percutaneous Repair or Medical Treatment for Secondary Mitral Regurgitation. New England Journal of Medicine. 2018;379(24):2297–306. DOI: 10.1056/NEJMoa1805374
- 17. Anker SD, Friede T, Von Bardeleben R-S, Butler J, Khan M-S, Diek M et al. Transcatheter Valve Repair in Heart Failure with Moderate to Severe Mitral Regurgitation. New England Journal of Medicine. 2024;391(19):1799–809. DOI: 10.1056/NEJMoa2314328
- Slivneva I.V., Sokol'skaya N.O. Three-dimensional echocardiographic model of functional mitral insufficiency. Creative Cardiology. 2019;13(3):229–40. [Russian: Сливнева И.В., Сокольская Н.О. Трехмерная эхокардиографическая модель функциональной митральной недостаточности. Креативная кардиология. 2019;13(3):229-40]. DOI: 10.24022/1997-3187-2019-13-3-229-240
- 19. Masiero G, Montonati C, Rubbio AP, Adamo M, Grasso C, Denti P et al. Impact of Transcatheter Edge-to-Edge Mitral Valve Repair

- on Atrial Functional Mitral Regurgitation from the GIOTTO Registry. The American Journal of Cardiology. 2024;211:219–27. DOI: 10.1016/j.amjcard.2023.11.007
- Tanaka T, Sugiura A, Vogelhuber J, Öztürk C, Böhm L, Wilde N et al. Outcomes of transcatheter edge-to-edge repair for atrial functional mitral regurgitation. EuroIntervention. 2024;20(4):e250–60. DOI: 10.4244/EIJ-D-23-00819
- Öztürk C, Friederich M, Werner N, Nickenig G, Hammerstingl C, Schueler R. Single-center five-year outcomes after interventional edge-to-edge repair of the mitral valve. Cardiology Journal. 2021;28(2):215–22. DOI: 10.5603/CJ.a2019.0071
- Hamada S, Ueyama H, Aikawa T, Kampaktsis PN, Misumida N, Takagi H et al. Outcomes of transcatheter edge-to-edge repair for atrial functional mitral regurgitation: A meta-analysis of observational studies. Catheterization and Cardiovascular Interventions. 2023;102(4):751–60. DOI: 10.1002/ccd.30806
- 23. Golukhova E.Z., Skopin I.I., Latyshev M.S., Slivneva I.V. Percutaneous mitral edge-to-edge repair. Circulation Pathology and Cardiac Surgery. 2022;26(1):9–23. [Russian: Голухова Е.З., Скопин И.И., Латышев М.С., Сливнева И.В. Интервенционная реконструкция митрального клапана «край-в-край». Патология кровообращения и кардиохирургия. 2022;26(1):9-23]. DOI: 10.21688/1681-3472-2022-1-9-23
- 24. Von Stein P, Besler C, Riebisch M, Al-Hammadi O, Ruf T, Gerçek M et al. One-Year Outcomes According to Mitral Regurgitation Etiology Following Transcatheter Edge-to-Edge Repair With the PASCAL System: Results From a Multicenter Registry. Journal of the American Heart Association. 2023;12(24):e031881. DOI: 10.1161/JAHA.123.031881
- Zahr F, Smith RL, Gillam LD, Chadderdon S, Makkar R, Von Bardeleben RS et al. One-Year Outcomes From the CLASP IID Randomized Trial for Degenerative Mitral Regurgitation. JACC: Cardiovascular Interventions. 2023;16(23):2803–16. DOI: 10.1016/j.jcin.2023.10.002
- Rudolph F, Kirchner J, Ivannikova M, Fortmeier V, Rudolph TK, Friedrichs KP et al. A Comparative Study of 1-Year Postprocedural Outcomes in Transcatheter Mitral Valve Repair in Advanced Primary Mitral Regurgitation: PASCAL vs. MitraClip. Journal of Clinical Medicine. 2024;13(2):484. DOI: 10.3390/jcm13020484
- Webb JG, Hensey M, Szerlip M, Schäfer U, Cohen GN, Kar S et al.
   1-Year Outcomes for Transcatheter Repair in Patients With Mitral Regurgitation From the CLASP Study. JACC: Cardiovascular Interventions. 2020;13(20):2344–57. DOI: 10.1016/j.jcin.2020.06.019
- Zaid S, Avvedimento M, Vitanova K, Akansel S, Bhadra OD, Ascione G et al. Impact of Mitral Regurgitation Etiology on Mitral Surgery After Transcatheter Edge-to-Edge Repair: From the CUTTING-EDGE Registry. JACC: Cardiovascular Interventions. 2023;16(10):1176–88. DOI: 10.1016/j.jcin.2023.02.029